

УДК 532.135

## НЕСТАЦИОНАРНОЕ ДВИЖЕНИЕ КАПЛИ МАКСВЕЛЛОВСКОЙ ЖИДКОСТИ В СРЕДЕ МАКСВЕЛЛА ПОД ДЕЙСТВИЕМ МОНОТОННЫХ И ПЕРИОДИЧЕСКИХ СИЛ

С. В. Осипов

Институт гидродинамики им. М. А. Лаврентьева СО РАН, 630090 Новосибирск  
E-mail: osipov@gorodok.net

Рассматривается нестационарное движение капли максвелловской жидкости, возникающее в среде Максвелла из состояния покоя в результате действия монотонных и периодических сил. На начальном отрезке времени, меньшем времени релаксации, на каплю со стороны жидкости действуют силы упругости; более того, капля сама является вязкоупругим материалом. Найдено решение задачи в первом приближении. Проведен анализ зависимости амплитуды скорости капли и сдвига фазы колебаний от времени релаксации внешней и внутренней сред, а также от частоты колебаний вынуждающей силы. Осуществлен предельный переход по плотности и вязкости внутренней среды.

**Ключевые слова:** жидкость Максвелла, вязкоупругая среда, время релаксации, периодические силы.

**Введение.** Движению жидких капель, твердых частиц и пузырьков газа в вязкой несжимаемой жидкости посвящено много работ. Достаточно широко изучено поведение капель и пузырьков под действием термокапиллярных, архимедовых, периодических сил (см., например, [1, 2]). Представляет интерес поведение капель в других, более сложных средах. В настоящей работе рассматривается движение капли, а также пузырька и твердого шарика в вязкоупругой среде. В частности, описан случай жидкости, или тела Максвелла.

Математически максвелловская модель определяется уравнением состояния вида [3]

$$T_{rel} \frac{\tilde{d}P}{dt} + P = -pI + 2\mu D,$$

где  $P$  — тензор напряжений;  $\tilde{d}P/dt = dP/dt + P \cdot W + (P \cdot W)^T$ ;  $W = (\nabla v - \nabla v^T)/2$  — производная Яумана, обеспечивающая инвариантность относительно вращения;  $D$  — тензор скоростей деформации;  $p$  — давление;  $t$  — время;  $v$  — скорость. Здесь существенную роль играет величина времени релаксации  $T_{rel}$ , которая определяет поведение и свойства среды. Если продолжительность эксперимента достаточно мала ( $t \ll T_{rel}$ ), то тело Максвелла ведет себя как твердое тело Гука; при  $T_{rel} \ll t$  материал представляет собой ньютоновскую жидкость.

Это свойство среды Максвелла позволяет использовать данную модель для изучения удивительных явлений, подобных тем, что наблюдались в экспериментах [4, 5], где исследовалось поведение двух сферических дисперсных элементов (капель в маловязкой жидкой матрице, твердых частиц в высоковязкой жидкой матрице, воздушных пор в вязкоупругом

геле). Установлено, что два или более дисперсных элементов в случае их полной изоляции от внешних силовых, а также температурных и концентрационных полей, находясь на расстоянии порядка их размеров, взаимно притягиваются до полного контакта (коагулируют). В опытах [6, 7] показано, что при очень слабых сдвиговых напряжениях ( $\tau < \tau_*$ ) полярные жидкости ведут себя как упругое тело с некоторым пределом текучести  $\tau_*$ , а при  $\tau > \tau_*$  наблюдается переход в режим пластичности. Таким образом, вначале среда ведет себя как упругое тело, а затем переходит в состояние тела Максвелла. С учетом этого можно сформулировать следующую задачу. В вязкоупругой среде Максвелла помещен сферический дисперсный элемент, на который действует некоторая массовая сила. Цель настоящего исследования — определить поле скоростей и давлений.

Заметим, что в общем случае вязкость жидкости является величиной переменной, а поскольку время релаксации  $T_{rel} = \mu/G$ , где  $G$  — динамический модуль сдвига, а  $\mu$  — вязкость, и оно изменяется во времени. Таким образом, эти характеристики среды могут принимать различные значения. Но при достаточно малой скорости деформации данные параметры практически не изменяются, и их можно считать константами.

С течением времени напряжение сдвига релаксирует, и модель Максвелла начинает описывать обычную ньютоновскую жидкость. Чтобы этого не происходило, для изучения свойств максвелловской среды целесообразно рассмотреть другой, немонотонный вид сил, вызывающих движение. В связи с этим в работе представлено решение задачи о движении капли максвелловской жидкости в вязкоупругой среде под действием периодических сил. Необходимым условием является сопоставимость времени релаксации среды и периода колебаний. Для многих вязкоупругих тел значение  $T_{rel}$  лежит в пределах  $10^{-3} \div 10^{-1}$  с, поэтому частота колебаний в этом случае должна быть порядка  $10^1 \div 10^3$  Гц. Малая же частота колебаний не позволит обнаружить сдвиговую упругость, и уравнение состояния будет лишь перегружено чисто математически.

Сведения о свойствах жидкости Максвелла можно найти в работах [3, 8, 9].

**1. Постановка задачи.** Требуется найти поверхность  $\Gamma_t$ , которая разбивает пространство  $\mathbb{R}^3$  на ограниченную односвязную область  $\Omega^+$  и ее дополнение  $\Omega^- = \mathbb{R}^3 \setminus \overline{\Omega^+}$ , поле скоростей  $\mathbf{v}$ , давлений  $p$ , зависящих от времени  $t$  и пространственных координат  $\mathbf{x}$  и удовлетворяющих системе уравнений

$$\begin{aligned} \frac{\partial \mathbf{v}}{\partial t} + \mathbf{v} \cdot \nabla \mathbf{v} &= \frac{1}{\rho} \operatorname{div} P + \mathbf{g}, & \nabla \cdot \mathbf{v} &= 0, \\ T_{rel} \frac{dP}{dt} + P &= -pI + 2\mu D, \end{aligned} \quad (1)$$

условиям сопряжения

$$\begin{aligned} [P \cdot \mathbf{n}]^\pm &= \sigma K \mathbf{n}, \\ V_n &= \mathbf{v} \cdot \mathbf{n}, & [\mathbf{v}]^\pm &= 0 \quad \text{на } \Gamma_t, \end{aligned}$$

условию на бесконечности

$$\mathbf{v} \rightarrow 0 \quad \text{при} \quad |\mathbf{x}| \rightarrow \infty$$

и начальным условиям

$$\mathbf{v} = 0, \quad \Gamma_t = \Gamma_0 = \{\mathbf{x}: |\mathbf{x}| = a\}, \quad P = P_0 \quad \text{при} \quad t = 0.$$

Здесь плотность  $\rho$  и вязкость  $\mu = \rho\nu$  являются кусочно-постоянными с поверхностью разрыва  $\Gamma_t$ ;  $\nu$  — кинематическая вязкость;  $\sigma$  — коэффициент поверхностного натяжения;  $P$  — тензор напряжений;  $D(\mathbf{v})$  — тензор скоростей деформации;  $K$  — полусумма главных кривизн  $\Gamma_t$  (след тензора кривизны);  $V_n$  — скорость движения  $\Gamma_t$  вдоль внешней к  $\Omega^+$

нормали  $\mathbf{n}$ ;  $[f]^\pm = f^+ - f^-$ ,  $f^\pm$  — предельные значения функции  $f(x, t)$  при стремлении  $\mathbf{x}$  к точке поверхности  $\Gamma$  из  $\Omega^\pm$  соответственно.

Из граничных условий видно, что поля скоростей непрерывны при переходе через  $\Gamma_t$ , а поля давлений и касательные напряжения претерпевают разрыв. В результате внешние массовые силы становятся причиной возникновения движения капли. Плотность этих сил  $\mathbf{g}(t) = (0, 0, g(t))$  задана, причем полагаем  $g(0) = 0$ . Задача о разгоне капли в вязкой жидкости под действием термокапиллярных и массовых сил была решена в работе [2].

**2. Упрощающие предположения.** Перейдем в неинерциальную систему координат, связанную с центром масс капли, движущимся в исходной системе со скоростью  $\mathbf{u}(t) = (0, 0, u(t))$ , т. е.

$$\mathbf{x}' = \mathbf{x} - \int_0^t \mathbf{u}(t) dt, \quad t' = t.$$

Введем новые искомые функции

$$\begin{aligned} \mathbf{v}' &= \mathbf{v} - \mathbf{u}, & P' &= P + \rho \mathbf{x}'(\mathbf{g} - \dot{\mathbf{u}}(t))I, \\ p' &= p - \rho \mathbf{x}'[\mathbf{g} + T_{rel}\dot{\mathbf{g}} - \dot{\mathbf{u}}(t) - T_{rel}\ddot{\mathbf{u}}(t)], \end{aligned}$$

тогда в новых переменных система уравнений (1) преобразуется в систему следующего вида:

$$\begin{aligned} \frac{\partial \mathbf{v}'}{\partial t'} + \mathbf{v}' \cdot \nabla \mathbf{v}' &= \frac{1}{\rho} \operatorname{div} P', & \nabla \cdot \mathbf{v}' &= 0, \\ T_{rel} \left\{ \frac{\partial P'}{\partial t'} + \mathbf{v}' \cdot \nabla P' - \rho \mathbf{v}'(\mathbf{g} - \dot{\mathbf{u}}(t)) + (P' - \rho \mathbf{x}'(\mathbf{g} - \dot{\mathbf{u}}(t))) \cdot \mathbf{W} + \right. & & (2) \\ \left. + ((P' - \rho \mathbf{x}'(\mathbf{g} - \dot{\mathbf{u}}(t))) \cdot \mathbf{W})^T \right\} + P' &= -p'I + 2\mu D'. \end{aligned}$$

Важно отметить, что первое уравнение системы (2) инвариантно относительно указанного преобразования.

Выберем в качестве масштабов длины, времени, скорости и давления величины  $a$ ,  $a^2/\nu^-$ ,  $a^2 g_0/\nu^-$ ,  $\rho^- a g_0$  соответственно, где  $a$  — радиус капли в начальный момент времени;  $g_0$  — некоторое “среднее” ускорение. Тогда уравнения движения после обезразмеривания и опускания штрихов принимают вид

$$\begin{aligned} \frac{\partial \mathbf{v}}{\partial t} + M \mathbf{v} \cdot \nabla \mathbf{v} &= \frac{\rho^-}{\rho} \operatorname{div} P, & \nabla \cdot \mathbf{v} &= 0, \\ T \left\{ \frac{\partial P}{\partial t} + M \left( \mathbf{v} \cdot \nabla P - \frac{\rho}{\rho^-} \mathbf{v}(\mathbf{g} - \dot{\mathbf{u}}(t)) + (P - \rho \mathbf{x}(\mathbf{g} - \dot{\mathbf{u}}(t))) \cdot \mathbf{W} + \right. \right. & & \\ \left. \left. + ((P - \rho \mathbf{x}(\mathbf{g} - \dot{\mathbf{u}}(t))) \cdot \mathbf{W})^T \right) \right\} + P &= -pI + 2 \frac{\mu}{\mu^-} D, \end{aligned}$$

где  $M = a^3 g_0 / (\nu^-)^2$ ,  $T = (\nu^- / a^2) T_{rel}$ .

Предположим, что  $a^3 g_0 \ll (\nu^-)^2$  и  $\rho^- a g_0 \ll \sigma/a$ . Первое соотношение обеспечивает малость параметра  $M$ , второе необходимо для значительного преобладания капиллярных сил над давлением. В этом случае капля сможет сохранять почти шарообразную форму. Разлагая формально функции  $\mathbf{v}$ ,  $p$ ,  $P$  в ряд по  $M$ , получим для первого приближения задачу с  $M = 0$ :

$$\frac{\partial \mathbf{v}}{\partial t} = \frac{\rho^-}{\rho} \operatorname{div} P, \quad \nabla \cdot \mathbf{v} = 0,$$

$$\begin{aligned}
T \frac{\partial P}{\partial t} + P &= -pI + 2 \frac{\mu}{\mu^-} D, \\
[P \cdot \mathbf{n}]^\pm &= 2\sigma / (ag_0) \cdot \mathbf{n}, \\
\mathbf{v}^+ \cdot \mathbf{n} &= 0, \quad \mathbf{v}^- \cdot \mathbf{n} = 0, \quad \mathbf{v}^+ \cdot \boldsymbol{\tau} = \mathbf{v}^- \cdot \boldsymbol{\tau} \quad \text{на } \Gamma, \\
\mathbf{v} + \mathbf{u} &\rightarrow 0, \quad |\mathbf{x}| \rightarrow \infty, \\
\mathbf{v} &= 0, \quad \mathbf{u} = 0, \quad \dot{\mathbf{u}} = 0, \quad t = 0,
\end{aligned} \tag{3}$$

которая допускает точное решение со сферической границей раздела  $\Gamma_t = \Gamma = \{\mathbf{x}: |\mathbf{x}| = 1\}$ . Здесь  $\boldsymbol{\tau}$  — касательный к  $\Gamma$  вектор.

Определим преобразование Лапласа по формуле

$$A^*(s) = \int_0^\infty A(t) e^{-st} dt.$$

Применим его к каждому из уравнений системы (3). Тогда в силу начальных данных будем иметь

$$s\mathbf{v}^* = (\rho^- / \rho) \operatorname{div} P^*; \tag{4}$$

$$(Ts + 1)P^* = -p^*I + 2(\mu/\mu^-)D^*. \tag{5}$$

Подставляя (5) в (4) и обозначая  $\alpha^\pm = 1/(T^\pm s + 1)$ , где  $T^+$  и  $T^-$  — время релаксации для внутренней и внешней жидкости соответственно, приходим к следующему уравнению:

$$s\mathbf{v}^* = \alpha(\rho^- / \rho)(-\nabla p^*I + (\mu/\mu^-)\Delta \mathbf{v}^*). \tag{6}$$

Условия сопряжения для  $P$  примут вид

$$\begin{aligned}
[(-\alpha^+ p^+ + \alpha^- p^-)^* - (\rho^0 - 1)x_3(g^* - su^*)]\mathbf{n} + \\
+ 2(\alpha^+ \mu^0 D^*(\mathbf{v}^+) \cdot \mathbf{n} - \alpha^- D^*(\mathbf{v}^-) \cdot \mathbf{n}) = 2\sigma / (ag_0 s) \cdot \mathbf{n},
\end{aligned}$$

где  $\rho^0 = \rho^+ / \rho^-$ ,  $\nu^0 = \nu^+ / \nu^-$ ,  $\mu^0 = \rho^0 \nu^0$ .

Пусть  $(r, \varphi, \theta)$  — сферическая система координат. Будем искать решение в предположении осевой симметрии. Введем функцию  $\psi^*(r, \theta, s)$  равенствами

$$v_r^* = -\frac{1}{r^2 \sin \theta} \frac{\partial \psi^*}{\partial \theta}, \quad v_\theta^* = \frac{1}{r \sin \theta} \frac{\partial \psi^*}{\partial r}.$$

Тогда система (6) запишется так:

$$\begin{aligned}
\alpha \frac{\rho^-}{\rho} \frac{\partial p}{\partial r} &= \frac{1}{r^2} \frac{\partial}{\partial \xi} \left\{ \frac{\nu}{\nu^-} \alpha E^2 \psi^* - s\psi^* \right\}, \\
\alpha \frac{\rho^-}{\rho} \frac{\partial p}{\partial \xi} &= -\frac{1}{1 - \xi^2} \frac{\partial}{\partial r} \left\{ \frac{\nu}{\nu^-} \alpha E^2 \psi^* - s\psi^* \right\},
\end{aligned}$$

где  $E^2 = \frac{\partial^2}{\partial r^2} + \frac{1 - \xi^2}{r^2} \frac{\partial^2}{\partial \xi^2}$ ,  $\xi = \cos \theta$ . Соответственно, компоненты преобразованного тензора напряжений в терминах  $\psi^*$  имеют вид

$$\begin{aligned}
P_{r\theta}^* &= -\frac{\mu}{\mu^-} \frac{\alpha}{(1 - \xi^2)^{1/2}} \left[ E^2 \psi^* - 2r \frac{\partial}{\partial r} \left( \frac{1}{r} \frac{\partial \psi^*}{\partial r} \right) \right], \\
\frac{\partial}{\partial \xi} P_{rr}^* &= \frac{\mu}{\mu^-} \frac{\partial}{\partial r} \left[ \frac{1}{1 - \xi^2} \left( \alpha E^2 \psi^* - \frac{\nu^-}{\nu} s\psi^* \right) + \frac{2\alpha}{r^2} \frac{\partial^2 \psi^*}{\partial \xi^2} \right].
\end{aligned}$$

В результате возникает следующая задача для функций  $\psi^*$  и  $u^*$ :

$$E^2[\nu^0 \alpha^+ E^2 \psi^* - s \psi^*] = 0 \quad \text{при } r < 1, \quad (7)$$

$$E^2[\alpha^- E^2 \psi^* - s \psi^*] = 0 \quad \text{при } r > 1;$$

$$\psi^{*+} = 0, \quad \psi^{*-} = 0, \quad \psi_r^{*+} = \psi_r^{*-},$$

$$\alpha^0 \mu^0 (\psi_{rr}^* - 2\psi_r^*)^+ - (\psi_{rr}^* - 2\psi_r^*)^- = 0 \quad \text{при } r = 1; \quad (8)$$

$$\frac{\psi_r^*}{r} \rightarrow u^*(1 - \xi^2), \quad \frac{\psi_\xi^*}{r^2} \rightarrow -u^* \xi \quad \text{при } r \rightarrow \infty; \quad (9)$$

$$\begin{aligned} (\rho^0 - 1)(su^* - g^*) + \mu^0 \frac{\partial}{\partial r} \left\{ \frac{\alpha E^2 \psi^* - \nu^{0-1} s \psi^*}{1 - \xi^2} + \frac{2}{r^2} \alpha \psi_{\xi\xi}^* \right\}^+ - \\ - \frac{\partial}{\partial r} \left\{ \frac{\alpha E^2 \psi^* - s \psi^*}{1 - \xi^2} + \frac{2}{r^2} \alpha \psi_{\xi\xi}^* \right\}^- = 0 \quad \text{при } r = 1. \end{aligned} \quad (10)$$

Уравнение (10) получено в результате дифференцирования динамического условия по  $\xi$ . Это не расширяет класс решений, так как давление внутри и вне капли по функции тока определено с точностью до аддитивной постоянной.

**3. Решение задачи.** Решение ищем в виде

$$\psi^*(r, \xi, s) = r f^*(r, s)(1 - \xi^2).$$

Соответственно перепишем задачу (7)–(10) в терминах оператора  $L$  такого, что  $L^2 = \frac{1}{r^2} \frac{\partial}{\partial r} \left( r^2 \frac{\partial}{\partial r} \right) - \frac{2}{r^2}$ :

$$L^2[\nu^0 \alpha L^2 f^* - s f^*] = 0 \quad \text{при } r < 1, \quad (11)$$

$$L^2[\alpha L^2 f^* - s f^*] = 0 \quad \text{при } r > 1;$$

$$r = 1: \quad f^{*+} = 0, \quad f^{*-} = 0, \quad f_r^{*+} = f_r^{*-}, \quad \alpha^0 \mu^0 f_{rr}^{*+} - f_{rr}^{*-} = 0; \quad (12)$$

$$r \rightarrow \infty: \quad f_r^* \rightarrow u^*/2, \quad f^*/r \rightarrow u^*/2; \quad (13)$$

$$\begin{aligned} r = 1: \quad (1 - \rho^0)(su^* - g^*) + [\alpha f_{rrr}^* + \alpha f_{rr}^* - (s + 6\alpha) f_r^*]^- = \\ = \mu^0 [\alpha f_{rrr}^* + \alpha f_{rr}^* - (s/\nu^0 + 6\alpha) f_r^*]^+. \end{aligned} \quad (14)$$

Из интегрального тождества

$$\int_0^1 (L^2 \omega) r^3 dr = r^2 (r \omega_r - \omega)_0^1$$

с функцией  $\omega = L^2 f^* - (s/(\nu^0 \alpha)) f^*$  легко устанавливается, что правая часть уравнения (14) равна нулю. Таким образом, условие (14) упрощается:

$$(1 - \rho^0)(su^* - g^*) + \{\alpha f_{rrr}^* + \alpha f_{rr}^* - (s + 6\alpha) f_r^*\}^- = 0 \quad \text{при } r = 1. \quad (15)$$

Для  $L^2$  верно представление

$$L^2 \varphi = (1/r) \mathcal{L}^2 r \varphi,$$

где  $\mathcal{L}^2 = \partial^2 / \partial r^2 - 2/r^2$ . Следовательно, уравнение

$$L^2[\nu \alpha L^2 f^* - s f^*] = 0$$

можно переписать так:

$$\mathcal{L}^2[\nu\alpha\mathcal{L}^2rf^* - srf^*] = 0.$$

Его общее решение имеет вид

$$f^* = c_1r + \frac{c_2}{r^2} + \frac{1}{r} \left[ c_3 e^{rb} \left( b - \frac{1}{r} \right) + c_4 e^{-rb} \left( b + \frac{1}{r} \right) \right],$$

где  $b^2 = s/(\nu\alpha)$ . После простых преобразований с учетом ограниченности поля скоростей при  $r = 0$  и условия (13) решение уравнений (11) можно представить в виде

$$f^*(r, s) = C_1F(\beta r) + C_2r, \quad r < 1,$$

$$f^*(r, s) = u^*r/2 + C_3/r^2 + C_4G(\gamma r), \quad r > 1,$$

где  $F(z) = d(\operatorname{sh} z/z)/dz$ ,  $G(z) = d(e^{-z}/z)/dz$ ,  $\beta = \sqrt{s/(\nu^0\alpha^+)}$ ,  $\gamma = \sqrt{s/\alpha^-}$ . Функции  $C_1(s), \dots, C_4(s)$  определяются из уравнений (12). В результате получаем

$$f^*(r, s) = \frac{3(1 + \gamma)u^*(s)/2}{3 + \gamma + \mu^0H(\beta)} \frac{F(\beta r) - F(\beta)r}{\beta F'(\beta) - F(\beta)}, \quad r < 1,$$

$$f^*(r, s) = -\frac{3(2 + \mu^0H(\beta))u^*(s)/2}{3 + \gamma + \mu^0H(\beta)} e^{\gamma} \left( G(\gamma r) - \frac{G(\gamma)}{r^2} \right) + \frac{1}{2} u^* \left( r - \frac{1}{r^2} \right), \quad r > 1.$$

Здесь  $H(z) = \frac{z^2F''(z)}{zF'(z) - F(z)} = \frac{z(z^2 + 6) - 3(z^2 + 2)\operatorname{th} z}{(z^2 + 3)\operatorname{th} z - 3z}$ . Далее из уравнения (15) после громоздких вычислений находим

$$u^*(s) = \frac{(\rho^0 - 1)g^*(s)}{(1/2 + \rho^0)s + \alpha^- B^*(s)}, \quad (16)$$

где

$$B^*(s) = \frac{3}{2}(2 + \mu^0H(\beta))C^*(s), \quad C^*(s) = \frac{3(1 + \sqrt{s/\alpha^-})}{3 + \sqrt{s/\alpha^-} + \mu^0H(\beta)}.$$

Имеют место асимптотические формулы:

$$H(z) = 3 + z^2/7 + O(z^4), \quad z \rightarrow 0,$$

$$H(z) = z + 3/z + O(1/z^3), \quad z \rightarrow \infty,$$

$$B^*(0) = \frac{3(2 + 3\mu^0)}{2(1 + \mu^0)}, \quad B^*(s) \approx \frac{9\rho^0\sqrt{\nu^0}T^0}{2(1 + \rho^0\sqrt{\nu^0}T^0)} \sqrt{s(T^-s + 1)}, \quad s \rightarrow \infty,$$

где  $T_0 = T^+/T^-$ . Функцию  $B^*(s)$  можно представить в виде  $B^*(s) = B^*(0) + sb^*(s)$ , где главные члены в разложении  $b^*(s)$  в окрестности нуля и бесконечности имеют вид

$$b^*(s) \approx \frac{1}{2} \left( \frac{2 + 3\mu^0}{1 + \mu^0} \right)^2 \sqrt{\frac{T^-s + 1}{s}}, \quad s \rightarrow 0,$$

$$b^*(s) \approx \frac{9\rho^0\sqrt{\nu^0}T^0}{2(1 + \rho^0\sqrt{\nu^0}T^0)} \sqrt{\frac{T^-s + 1}{s}}, \quad s \rightarrow \infty.$$

Перепишем уравнение (16) в виде

$$(1/2 + \rho^0)(T^-s + 1)su^* + B^*(0)u^* + sb^*(s)u^* = (\rho^0 - 1)(T^-s + 1)g^*(s).$$

Очевидно, что  $su^*(s)$  есть изображение от  $u'(t)$ . Выражение  $sb^*(s)u^*(s)$  является изображением от  $\int_0^t u'(t_1)b(t-t_1) dt_1$ . Действительно, имеем

$$\begin{aligned} sb^*(s)u^*(s) &= s \int_0^\infty b(t) e^{-st} dt \int_0^\infty u(t_1) e^{-st_1} dt_1 = \\ &= \int_0^\infty b(t-t_1) e^{-s(t-t_1)} d(t-t_1) \int_0^\infty u'(t_1) e^{-st_1} dt_1 = \\ &= \int_0^\infty \int_0^t b(t-t_1)u'(t_1) e^{-s(t-t_1)} e^{-st_1} dt_1 dt = \int_0^\infty \int_0^t b(t-t_1)u'(t_1) dt_1 e^{-st} dt. \end{aligned}$$

Таким образом, из уравнения (16) получаем интегродифференциальное уравнение

$$\left(\frac{1}{2} + \rho^0\right)[T^- u''(t) + u'(t)] + B^*(0)u(t) + \int_0^t u'(t_1)b(t-t_1) dt_1 = (\rho^0 - 1)(T^- g'(t) + g(t)). \quad (17)$$

Устремляя  $T^+$  и  $T^-$  к нулю, из (16) или (17) получим скорость, равную аналогичной в работе [2] для ньютоновской жидкости.

Предположим, что существует предел функции  $g(t)$  при  $t \rightarrow \infty$ . Тогда в силу равенства

$$\lim_{t \rightarrow \infty} u(t) = \lim_{s \rightarrow 0} su^*(s)$$

из (16) найдем формулу для предельной скорости

$$\lim_{t \rightarrow \infty} u(t) = \lim_{s \rightarrow 0} \frac{(\rho^0 - 1)sg^*(s)}{(1/2 + \rho^0)s + \alpha^- B^*(s)} = \frac{2(1 + \mu^0)}{3(2 + 3\mu^0)} (\rho^0 - 1) \lim_{t \rightarrow \infty} g(t).$$

Полученное выражение в точности совпадает со скоростью движения капли под действием архимедовых сил, представляемой формулой Адамара — Рыбчинского [10]. Вполне закономерно, что данный результат не зависит от времени релаксации  $T_{rel}$ . Это согласуется с физическими законами поведения жидкости Максвелла.

**4. Переход к дифференциальному уравнению.** В некоторых предельных случаях можно от уравнений (16), (17) перейти к дифференциальному уравнению. Рассмотрим движение газового пузырька в жидкости Максвелла в случае воздействия на систему некоторого удара, или толчка. Положим  $\mu^0 = 0$ , а  $g(t) = t e^{-t}$ , чему соответствует  $g^*(s) = 1/(s+1)^2$ . Уравнение (16) примет вид

$$\begin{aligned} [(1/2 + \rho^0)s(T^- s + 1)(3 + \sqrt{s(T^- s + 1)}) + 9(1 + \sqrt{s(T^- s + 1)})]u^*(s) = \\ = (T^- s + 1)(3 + \sqrt{s(T^- s + 1)})(\rho^0 - 1)/(s + 1)^2 \equiv q^*(s). \end{aligned}$$

Умножая обе части равенства на

$$r^*(s) = (1/2 + \rho^0)s(T^- s + 1)(\sqrt{s(T^- s + 1)} - 3) + 9(\sqrt{s(T^- s + 1)} - 1)$$

и вводя обозначение

$$P^*(s) = (1/2 + \rho^0)^2 s^2 (T^- s + 1)^2 (s(T^- s + 1) - 9) + \\ + 18(1/2 + \rho^0) s (T^- s + 1) (s(T^- s + 1) - 3) + 81(s(T^- s + 1) - 1)$$

или

$$P^*(s) = (1/2 + \rho^0)^2 (T^-)^3 s^6 + 3(1/2 + \rho^0)^2 (T^-)^2 s^5 + (18(1/2 + \rho^0)(T^-)^2 + 3(1/2 + \rho^0)^2 T^- - \\ - 9(1/2 + \rho^0)^2 (T^-)^2) s^4 + (36(1/2 + \rho^0) T^- + (1/2 + \rho^0)^2 - 18(1/2 + \rho^0)^2 T^-) s^3 + \\ + (-9(1/2 + \rho^0)^2 + 9 + 18\rho^0 - 54(1/2 + \rho^0) T^- + 81 T^-) s^2 + (54 - 54\rho^0) s - 81,$$

получаем

$$P(s)u^*(s) = F^*(s), \quad F^*(s) = r^*(s)q^*(s).$$

В итоге легко осуществляется переход к дифференциальному уравнению 6-го порядка

$$P\left(\frac{d}{dt}\right)u(t) = F(t),$$

где  $F(t)$  — оригинал изображения  $F^*(s)$ . Встает вопрос о начальных данных для полученного уравнения. Их можно определить, воспользовавшись обратным преобразованием Лапласа для разложения функции  $u^*(s)$  в ряд Тейлора на бесконечности. Имеем

$$u^*(s) = \frac{a_3}{s^3} + \frac{a_4}{s^4} + \frac{a_5}{s^5} + \frac{a_6}{s^6} + O\left(\frac{1}{s^7}\right),$$

где

$$a_3 = \frac{\rho_0 - 1}{1/2 + \rho_0}, \quad a_4 = \frac{-2\rho_0 + 2}{1/2 + \rho_0}, \quad a_5 = \frac{3\rho_0 - 3 - 18(\rho_0 - 1)/((1 + 2\rho_0)T^-)}{1/2 + \rho_0}, \\ a_6 = \frac{2(\rho_0 - 1)(36/\sqrt{T^-} + 18/T^- - 8T^-(1 + 2\rho_0) + 36)}{(1 + 2\rho_0)^2 T^-}.$$

Обозначим через  $Z^{-1}$  обратное преобразование Лапласа. Тогда  $Z^{-1}[1/s^n] = t^{n-1}/(n-1)!$ , откуда получаем  $u(t) = a_3 t^2/2 + a_4 t^3/6 + a_5 t^4/24 + a_6 t^5/120 + O(t^6)$ . В результате определяются дополнительные начальные данные:

$$u''(0) = a_3, \quad u'''(0) = a_4, \quad u^{IV}(0) = a_5, \quad u^V(0) = a_6.$$

Аналогичное сведение выполняется и для твердого шарика, когда  $\mu^0 = \infty$ . Уравнение (16) в этом случае принимает вид

$$[(1/2 + \rho^0)s(T^- s + 1) + (9/2)(1 + \sqrt{s(T^- s + 1)})]u^*(s) = (T^- s + 1)(\rho^0 - 1)/(s + 1)^2 \equiv q^*(s).$$

При этом регуляризуемым символом является выражение  $r^*(s) = (1/2 + \rho^0)s(T^- s + 1) - (9/2)(\sqrt{s(T^- s + 1)} - 1)$ .

**5. Движение под действием периодических массовых сил.** Далее рассмотрим задачу о движении капли, возникающем под действием периодических сил. Например, такие воздействия на тела являются определяющими внутри космического корабля в невесомости, в отсутствие гравитации. Задачи такого типа называются “g-jitter” задачами.

Полагаем, что  $g(t) = A e^{i\omega t}$ . В этом случае функции  $u$ ,  $v$ ,  $P$ ,  $p$  могут быть найдены в виде

$$u = \text{Re } \hat{u} e^{i\omega t}, \quad v = \text{Re } \hat{v} e^{i\omega t}, \quad P = \text{Re } \hat{P} e^{i\omega t}, \quad p = \text{Re } \hat{p} e^{i\omega t}.$$



Подставляя эти выражения в систему уравнений движения и состояния (3) и опуская “крышки”, получим следующие уравнения:

$$i\omega \mathbf{v} = (\rho^- / \rho) \operatorname{div} P; \quad (18)$$

$$(i\omega T + 1)P = -pI + 2(\mu / \mu^-)D. \quad (19)$$

Подставляя (19) в (18) и обозначая  $\hat{\alpha}^\pm = 1/(T^\pm s + 1)$ , приходим к следующему уравнению:

$$i\omega \mathbf{v} = \hat{\alpha}(\rho^- / \rho)(-\nabla pI + (\mu / \mu^-)\Delta \mathbf{v}).$$

Условия сопряжения для  $P$  примут вид

$$\begin{aligned} \{(-\hat{\alpha}^+ p^+ + \hat{\alpha}^- p^-) - (\rho^0 - 1)x_3[A - i\omega u]\} \mathbf{n} + \\ + 2(\hat{\alpha}^+ \mu^0 D(\mathbf{v}^+) \cdot \mathbf{n} - \hat{\alpha}^- D(\mathbf{v}^-) \cdot \mathbf{n}) = -2i\sigma/(ag_0\omega) \cdot \mathbf{n}, \end{aligned}$$

где  $\rho^0 = \rho^+ / \rho^-$ ,  $\nu^0 = \nu^+ / \nu^-$ ,  $\mu^0 = \rho^0 \nu^0$ .

Вводя сферическую систему координат и применяя процедуру, аналогичную решению задачи с монотонной функцией  $g(t)$ , получим выражение для скорости:

$$u(t) = \operatorname{Re} U(t), \quad U(t) = \frac{(\rho^0 - 1)A e^{i\omega t}}{(1/2 + \rho^0)i\omega + \alpha^- \hat{B}(i\omega)}. \quad (20)$$

Переходя к пределу по плотности и вязкости, из выражения (20) несложно получить результат для скорости пузырька газа или твердого шарика.

Представляет интерес анализ зависимости скорости капли и сдвига фазы колебаний от параметров времени релаксации  $T_{rel}$  окружающей среды и капли. Для построения соответствующих зависимостей будем теоретически варьировать свойства или виды жидкостей таким образом, чтобы изменялось время релаксации и сохранялись остальные характеристики. В качестве “точки отсчета” рассмотрим 0,5 %-й раствор полиакриламида. Раствор является типичным представителем жидкости Максвелла с достаточно большим временем релаксации (от 0,1 до 5 с). Его динамическая вязкость  $\mu = 5$  П.

На рис. 1, 2 представлены амплитуды скорости  $u = |U(t)|$  и сдвига фазы колебаний капли  $\varphi = \arg U(t)$  соответственно (скорость указана в сотых см/с). Положено, что частота колебаний вынуждающей силы  $\omega = 500$  Гц, амплитуда ускорения  $g = 5$  см/с<sup>2</sup>, что почти в 200 раз меньше ускорения свободного падения на поверхности Земли; отношение плотности внутренней жидкости к внешней  $\rho^0 = 2$ , отношение динамических вязкостей

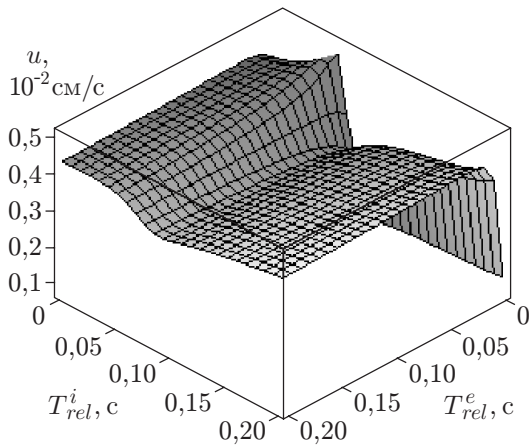


Рис. 1

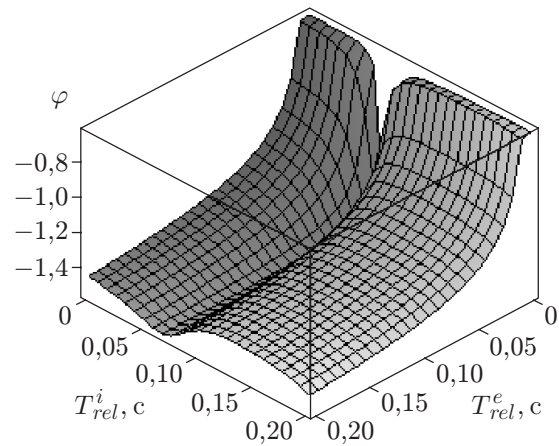


Рис. 2

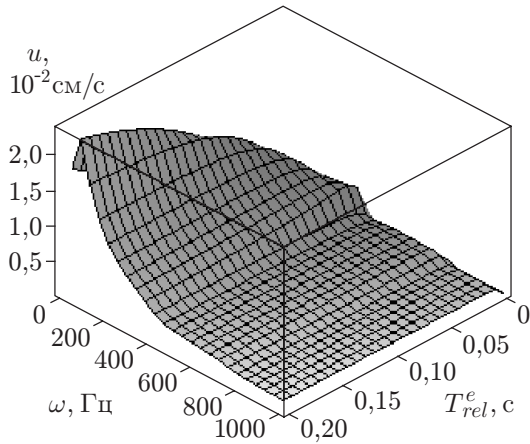


Рис. 3

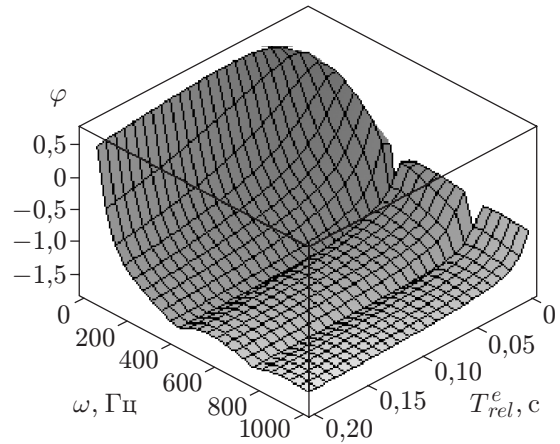


Рис. 4

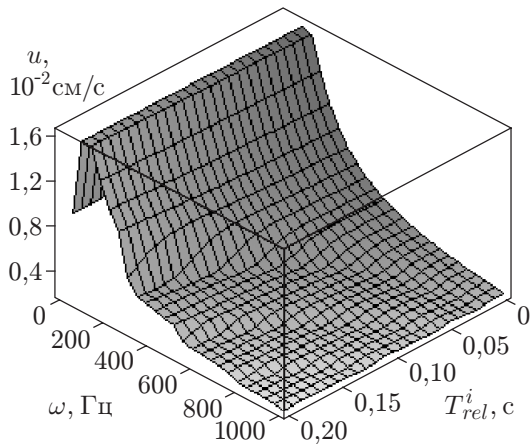


Рис. 5

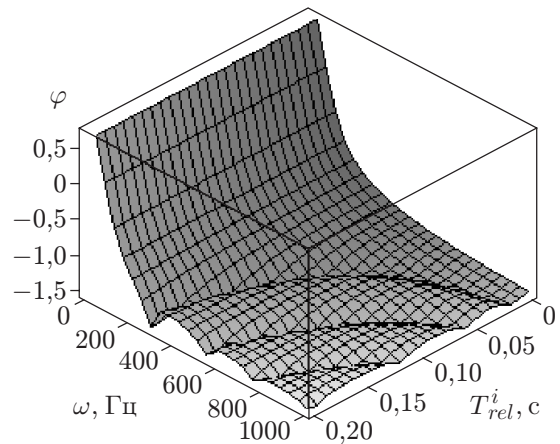


Рис. 6

$\mu^0 = 4$ . Видно, что зависимость рассматриваемых величин от времени релаксации внешней жидкости более значительная. Кроме того, с ростом времени релаксации внешней жидкости  $T_{rel}^e$  снижается влияние времени релаксации внутренней жидкости  $T_{rel}^i$  на картину движения. Интересным и неожиданным результатом явилось наличие на графиках пиков и впадин. На данный момент это не получило точного обоснования, но по всей видимости, является следствием резонанса собственных колебаний капли и колебаний вынуждающей силы.

Далее рассмотрим в качестве параметров время релаксации внешней жидкости  $T_{rel}^e$  и частоту  $\omega$ . Фиксируем значение  $T_{rel}^i = 0,1$  с.

В этом случае (рис. 3) при достаточно малой частоте колебаний (порядка 100 Гц) амплитуда скорости капли растет с увеличением времени релаксации среды  $T_{rel}^e$ . С ростом частоты до 500 Гц такая зависимость исчезает и величина  $T_{rel}^e$  практически не оказывает влияния на скорость капли. При  $\omega \approx 100$  Гц сдвиг фазы колебаний близок к нулю (рис. 4). При  $\omega = 300$  Гц и выше, напротив, сдвиг фазы достигает  $\pi/2$ . Заметим, что с увеличением  $T_{rel}^e$  на обоих графиках уменьшается “бугристость”, что говорит о снижении относительного влияния  $T_{rel}^i$ .

На рис. 5, 6 приведены графики зависимости исследуемых величин от времени релаксации внутренней жидкости и частоты колебаний внешней силы ( $T_{rel}^e = 0,1$  с). Очевидно, что более существенное влияние на картину течения оказывает время релаксации внешней среды.

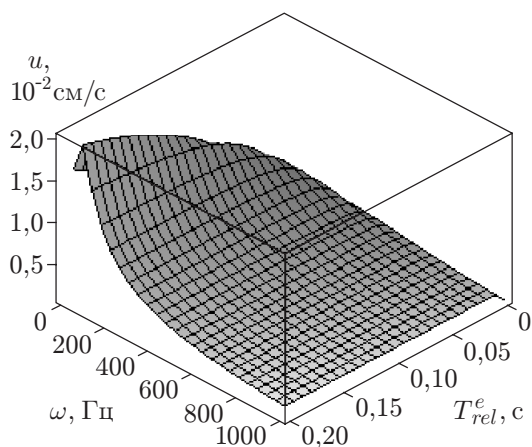


Рис. 7

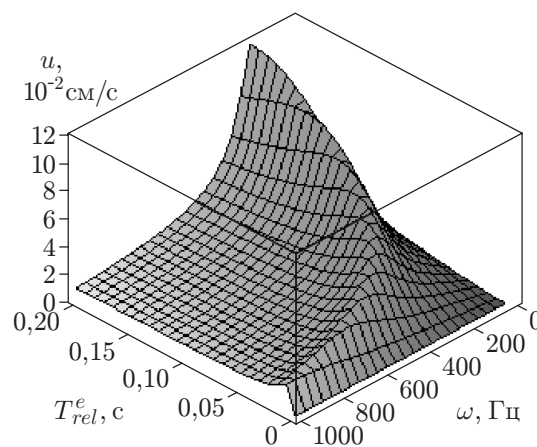


Рис. 8

На рис. 7, 8 представлены графики амплитуды скорости как функций от времени релаксации внешней среды и частоты колебаний вынуждающей силы при движении твердого шарика и газового пузырька соответственно.

Автор выражает искреннюю благодарность В. В. Пухначеву за постановку задачи и внимание к работе и С. В. Стебновскому за ценные консультации и советы.

#### ЛИТЕРАТУРА

1. **Balasubramaniam R., Subramanian R. S.** Thermocapillary bubble migration — thermal boundary layers for large marangoni numbers // Intern. J. Multiphase Flow. 1996. V. 22. P. 593–612.
2. **Антановский Л. К., Копбосынов Б. К.** Нестационарный термокапиллярный дрейф капли вязкой жидкости // ПМТФ. 1986. № 2. С. 59–64.
3. **Уилкинсон У. Л.** Неньютоновские жидкости. М.: Мир, 1964.
4. **Стебновский С. В.** Термодинамическая неустойчивость дисперсных сред, изолированных от внешних воздействий // ПМТФ. 1999. Т. 40, № 3. С. 53–58.
5. **Стебновский С. В.** О механизме коагуляции дисперсных элементов в средах, изолированных от внешних воздействий // ПМТФ. 1999. Т. 40, № 4. С. 156–161.
6. **Стебновский С. В.** Динамооптический эффект в гомогенных жидкостях // Журн. техн. физики. 2002. Т. 72, № 11. С. 24–27.
7. **Стебновский С. В.** О сдвиговой прочности структурированной воды // Журн. техн. физики. 2004. Т. 74, № 1. С. 21–25.
8. **Астарита Дж., Марруччи Дж.** Основы гидромеханики неньютоновских жидкостей. М.: Мир, 1978.
9. **Рейнер М.** Реология. М.: Наука, 1965.
10. **Бэтчелор Дж.** Введение в механику жидкости. М.: Мир, 1973.

*Поступила в редакцию 6/VII 2004 г.*